

# رخداد معدنی آهن گورگور، شمال خاور تکاب: کانه‌زایی تیپ آتشفسانی-رسوبی دگرگون شده در زون سندج-سیرجان

زهره محمدی

گروه زمین‌شناسی، دانشگاه زنجان، زنجان، ایران

محمد ابراهیمی

گروه زمین‌شناسی، دانشگاه زنجان، زنجان، ایران

حسین کوهستانی

گروه زمین‌شناسی، دانشگاه زنجان، زنجان، ایران

تاریخ پذیرش: ۹۲/۷/۲۸ تاریخ دریافت: ۹۲/۱۲/۵

kouhestani@znu.ac.ir

## چکیده

کانه‌زایی آهن در گورگور به صورت عدسی‌شکل، همووند با برگوارگی واحدهای شیستی سازند که رخ داده است. براساس مطالعات کانه‌نگاری، مگنتیت‌پیریت، کانه‌های معدنی و کوارتز و تورمالین، کانه‌های باطله را در گورگور تشکیل می‌دهند. بافت کانه‌ها، دانه‌پراکنده، لامینهای، نواری و توده‌ای است. دگرسانی به بخش‌های سریسیتی و کوارتز-تورمالینی زون‌های کانه‌دار محدود می‌شود. دو مرحله کانه‌زایی در گورگور قابل تفکیک است. کانه‌زایی مرحله اول به صورت مگنتیت‌های دانه‌پراکنده، لامینهای و عدسی‌شکل چینه‌سان و چینه‌کران در واحدهای شیستی دیده می‌شود. مرحله دوم کانه‌زایی شامل تنابوی از مگنتیت و کوارتز با ساخت نواری است. بررسی تغییرات ژئوشیمیایی عناصر فرعی و کمیاب در سنگ‌های میزبان فاقد کانه‌زایی و بخش‌های کانه‌دار نشان‌دهنده کاهش میزان عناصر LREE و افزایش عناصر HREE در بخش‌های کانه‌دار است. ویژگی‌های رخداد معدنی گورگور با کانسسهای نوع آتشفسانی-رسوبی دگرگون شده‌اند قابل مقایسه است. شناخت اینویژگی‌ها کاربرد فراوانی در اکتشاف این تیپ از کانه‌زایی‌های آهن در زون سندج-سیرجان دارد.

**کلمات کلیدی:** کانه‌زایی آهن، آتشفسانی-رسوبی، گورگور، سندج-سیرجان.

## مقدمه

نوع کانه‌زایی‌ها می‌تواند عوامل کلیدی توزیع زمانی و مکانی برای اکتشاف کانه‌زایی‌های مشابه در این بخش از زون سندج-سیرجان را معرفی نموده و به عنوان الگوی اکتشافی مورد استفاده قرار گیرد.

### روش مطالعه

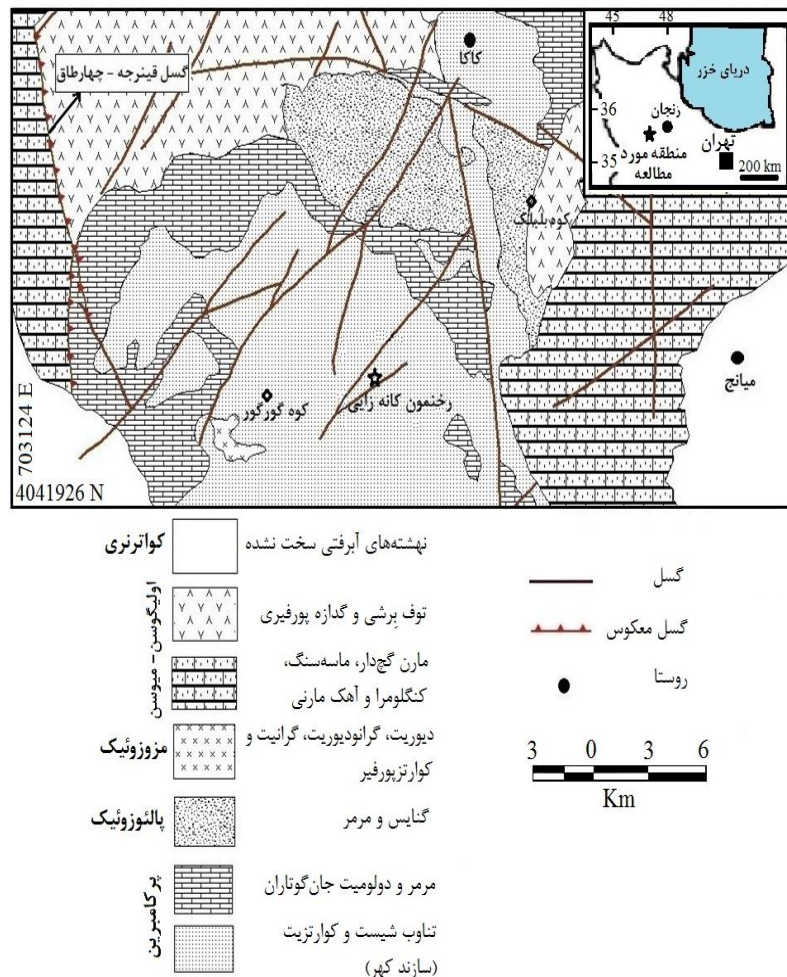
به منظور مطالعه زمین‌شناسی و کانه‌زایی منطقه مورد مطالعه، علاوه بر انجام مطالعات صحرایی، تعداد ۱۰ مقطع نازک و ۸ مقطع نازک-صیقلی از واحدهای سنگی و بخش‌های کانه‌دار تهیه گردید. مطالعات سنگ‌نگاری و کانه‌نگاری با استفاده از میکروسکوپ‌های نوری دومنظوره مدل GX DR دانشگاه زنجان انجام شد. سپس براساس تغییرات سنگ‌شناسی، دگرسانی و کانه‌زایی، تعداد ۸ نمونه از واحدهای سنگی منطقه برای انجام آنالیزهای شیمیایی انتخاب شد. برای این منظور، ابتدا نمونه‌ها توسط خردکننده فولادی تا اندازه حدود ۵ میلی‌متر خردایش شده و سپس توسط آسیاب کرومی به مدت ۲ دقیقه تا اندازه حدود ۲۰۰ میلی‌متر پودر شدند. پس از پودر کردن هر نمونه، ماسه‌های کوارتزی آسیاب گردید تا میزان آلوگری به حداقل برسد. مراحل خردایش و پودر کردن نمونه‌ها در آزمایشگاه دانشگاه زنجان انجام شد. پس از آماده‌سازی، میزان ۲۰ گرم از پودر نمونه‌ها برای تعیین میزان عناصر فرعی، کمیاب و نادر خاکیه آزمایشگاه سازمان زمین‌شناسی و اکتشافات معدنی کشور ارسال و آنالیز گردید. تعیین میزان عناصر فرعی و کمیاب به روش ICP-OES انجام شد. برای تعیین میزان عناصر نادر خاکی و رفرکتوری حدود ۰/۲ گرم از هر نمونه در لیتیم متابرات/اتربرات ذوب و سپس در اسید نیتریک حل گردید. برای تعیین میزان عناصر فلزی گران‌بهای و فلزات پایه به صورت جداگانه حدود ۰/۵ گرم از هر نمونه در تیزاب سلطانی (Aqua Regia) داغ (درجه ۹۵) حل گردید. میزان دقت برای عناصر فرعی و کمیاب بین ۳ تا ۱۰ درصد بوده است.

رخداد معدنی آهن گورگور در منطقه حلب (شمال خاور تکاب) و در فاصله ۲۵ کیلومتری با ختر دندی، در محدوده‌ای با طول جغرافیایی  $۴۷^{\circ} ۲۰' \text{ تا } ۴۷^{\circ} ۴۷'$  خاوریو عرض جغرافیایی  $۳۶^{\circ} ۲۵' \text{ تا } ۳۶^{\circ} ۴۷'$  شمالی، در جنوب خاور برگه ۱:۱۰۰۰۰۰ تخت سلیمان (باباخانی و قلمقاش، ۱۳۸۴) واقع شده است. براساس تقسیمات محیط‌های تکتونیکی-رسوبی ایران (Alavi, 1994-2004)، این رخداد معدنی در بخش شمالی زون سندج-سیرجان قرار می‌گیرد. از دیدگاه متالوژی، زون سندج-سیرجان یکی از مهم‌ترین ایالت‌های فلزی در ایران محسوب شده و میزبان انواعی مهمی از کانه‌زایی‌های فلزی آهن، مس، سرب و روی، تنگستن و طلا می‌باشد (قربانی، ۱۳۸۶). از کاتسارهای مهم موجود در این زون می‌توان به آهن‌های گل‌گهر (حلاجی) و یعقوب‌پور (۱۳۷۳)، همه‌کسی یا باباعلی (توکلی، ۱۳۸۳)، چنان علیا (زمانیان و همکاران، ۱۳۹۱) و قادرآباد (سعادت و همکاران، ۱۳۹۲)، مس بوانات (موسیوند، ۱۳۸۲، ۱۳۸۸)، سرب-روی-مس (Musivand et al., 2012, 2014)، جاه‌گز (موسیوند، ۱۳۸۸)، سرب و روی سرگز (Musivand et al., 2011)، تنگستن نظام‌آباد (فرهادیان، ۱۳۷۰، ۲۰۱۱)، Badrzadeh et al., 2010, 2011) و طلاهای زرترشت (راستگوی مقدم، ۱۳۸۴؛ علی‌یاری، ۱۳۹۰)، موتله (رشیدنژاد عمران، ۱۳۸۱)، کوهستانی (۱۳۸۳)، کوهستانی و همکاران، ۱۳۸۵، ۱۳۸۱)، کوهستانی (Kouhestani et al., 2008, 2014)، باریکا (باریکا، ۱۳۸۵)، تاج‌الدین و همکاران، ۱۳۸۹)، اشاره کرد. کانه‌زایی آهن در گورگور اولین بار در سال ۱۳۹۱ توسط شرکت البرز کانی خاورمیانه بر پایه وجود آثار متعددی از کانه‌زایی آهن در منطقه حلب شناسایی گردید. با این وجود، هیچ‌گونه فعالیت اکتشافی و مطالعه علمی بر روی آن انجام نشده بود. در این مقاله، ویژگی‌های زمین‌شناسی، کانه‌زایی و زمین‌شیمیایی رخداد معدنی گورگور مورد بررسی قرار گرفته و تیپ کانه‌زایی و خاستگاه آن تعیین شده است. مطالعه دقیق این

**زمین‌شناسی عمومی منطقه**

مزوزوئیک، واحدهای سنگی الیگوسن- میوسن و واحدهای کواترنری می‌باشد  
(شکل ۱).

براساس نقشه زمین‌شناسی ۱:۱۰۰۰۰۰ تخت سلیمان (باباخانی و قلمقاش، ۱۳۸۴)، واحدهای سنگی رخمنون یافته در منطقه مورد مطالعه شامل مجموعه دگرگونی پرکامبرین و پالئوزوئیک، سنگهای نفوذی



شکل ۱. نقشه زمین‌شناسی ناحیه‌ای ساده شده از منطقه مورد مطالعه براساس نقشه زمین‌شناسی ۱:۱۰۰۰۰۰ تخت سلیمان (باباخانی و قلمقاش، ۱۳۸۴).

پرکامبرین را قطع کرده‌اند. این سنگ‌ها تنها در بخش جنوب‌باخته منطقه به صورت توده نفوذی نیمه‌عمیق رخمنون داشته (شکل ۱) و به طور پیشرونده توسط رسوبات الیگوسن- میوسن پوشیده می‌شوند. مارن‌های گچ‌دار، ماسه- سنگ، کنگلومرا و آهک مارنی فسیل‌دار مهم‌ترین واحدهای تخریبی و کربناته الیگوسن- میوسن را تشکیل می‌دهند. طبقات کنگلومرا‌ی این واحد یک کنگلومرای پلی‌ژنتیک با قطعات سنگ‌های دگرگونی است. بخش‌های آهکی به صورت ستبرایه تا بدون لایبندی فسیل‌دار همراه با میان‌لایه‌های مارنی و ماسه‌سنگی هستند که بر روی رسوبات مارنی و ماسه‌سنگی گچ‌دار قرار می‌گیرند. بخش آهک ریفی این مجموعه را می‌توان هم‌ارز بخش F سازند قم در نظر گرفت (باباخانی و قلمقاش، ۱۳۸۴). سنگ‌های آتش‌شکنی این مجموعه شامل ردیفهایی از توف برشی و گدازه پورفیری با ترکیب آندزیتی می‌باشد. این واحدها بر روی بخش‌های آهکی و یا کنگلومرا‌ی و ماسه‌سنگی قرار می‌گیرند (باباخانی و قلمقاش، ۱۳۸۴).

از نظر ساختاری، منطقه مورد مطالعه دارای چین‌خوردگی‌ها و گسل- خوردگی‌های متعددی است. چین‌خوردگی‌ها بیشتر در واحدهای شیستی

مجموعه دگرگونی پرکامبرین شامل سنگ‌های شیستی و میان‌لایه‌های کوارتزیتی معادل سازند کهر است که با همیزی گسله در زیر واحدهای متوسط تا ستبرایه (به ستبرای ۵۰ متر) کربناته (مرمر و دولومیت جان- گوتاران) قرار گرفته‌اند (باباخانی و قلمقاش، ۱۳۸۴). مرمر جان گوتاران هم- ارزدولومیت زیرین سازند سلطانیه به سن پرکامبرین بالایی است (باباخانی و قلمقاش، ۱۳۸۴). گنایس و مرمر مهم‌ترین واحدهای سنگ‌شناصی پالئوزوئیک را تشکیل می‌دهند. این واحدها بر روی مرمر و دولومیت جان گوتاران قرار گرفته و خود توسط سنگ‌های آواری و آتش‌شکنی الیگوسن- میوسن پوشیده می‌شوند. گنایس‌ها از نوع بیوتیت و فلدوسپات‌دار بوده و اغلب دارای بافت چشمی و ساخت میگماتیتی هستند. واحد مرمری بیشتر به صورت میان- لایه‌های ۵ تا ۲۰ متری آهک و دولومیت مرمرین سفید رنگ است که به تدریج به تنایی از آمفیبولیت و مرمر تبدیل می‌شود (باباخانی و قلمقاش، ۱۳۸۴).

سنگ‌های نفوذی مزووئیک دارای ترکیبی دیوریتی، گرانودیوریتی، گرانیتی و کوارتزپورفیری هستند که سنگ‌های دگرگونی پالئوزوئیک و

از نظر کانی‌شناسی، گارنت- میکاشیست‌ها دارای کوارتز، مسکویت، بیوتیت و گارنت می‌باشد. کوارتز بیشتر در اندازه‌های  $1/5$  تا  $1/5$  میلی‌متر دیده می‌شود. این کانی تحت تأثیر تنفس و فشارهای دینامیکی، مرزهای بلوری پدرسی داشته (Yardley et al., 1990) و خاموشی موجی نشان می‌دهد. بیوتیت‌ها اغلب چندرنگی سبز و قهوه‌ای نشان داده و معمولاً در امتداد رخ‌های خود دارای کانی‌های روتیل و اکسیدهای آهن هستند که این امر می‌تواند نشان‌دهنده بالا بودن فوگاسیته اکسیژن و فشار بخار آب ضمن تشکیل بیوتیت‌ها باشد (Best, 2003). در برخی بخش‌ها، بیوتیت‌ها از حاشیه به کلریت تبدیل شده‌اند که این فرآیند احتمالاً بیانگر وقوع دگرگونی قهقهه‌ای می‌باشد (Eggerton and Banfield, 1985).

گارنت‌ها معمولاً به صورت پورفیروکلاست‌های خودشکل و نیمه‌خودشکل در اندازه‌های ۱ تا ۳ میلی‌متر دیده شده و دارای ادخال‌های فراوان کوارتز می‌باشند. بلورهای گارنت‌تغلب ساختار سایه فشاری متقارن و یا نامتقارن با دنباله‌هایی از جنس کوارتز نشان می‌دهند (شکل ۳-الف و ب). براساس مطالعات میکروسکوپی، پورفیروکلاست‌های گارنت قبل از دگرشکلی در سنگ وجود داشته و ضمن رشد در حین دگرشکلی، برگوارگی داخلی در آنها توسعه یافته است (Passchier and Trouw, 1997). علاوه بر این، ادخال‌های کوارتز در گارنت‌ها ترقی داخلی پیچیده‌ای را نشان می‌دهند که این امر نشان‌دهنده رشد گارنت‌ها قبل از ایجاد فابریک کنگرهای سنگ است (شکل ۳-ب). شیستوزیته غالب سنگ که با جهت‌یافتنگی کانی‌های مسکویت و بیوتیت مشخص می‌شود نیز با شیستوزیته درون گارنت‌ها هم راستا نیست. این پدیده ناشی از فرآیند دگرشکلی بعد از رشد گارنت‌ها است (Yardley et al., 1990; Passchier and Trouw, 1997).

به صورت ریزچین‌های خوبیده قابل مشاهده‌اند. محور این‌ها به موازات برگوارگی عمومی سنگ می‌باشد. مهم‌ترین شکستگی موجود در منطقه گسل قینرجه- چهار طاق با روند شمال‌باخته- جنوب‌خاوری است. این گسل از نوع پی‌سنگی با شیب حدود ۴۰ تا ۵۰ درجه به سمت شمال‌خاوری و جابجایی معکوس راست‌گرد بوده (باباخانی و قلمقاش، ۳۸۴) و سبب ایجاد یکسری گسل‌های رورانده با راستای تقریباً خاوری- باخته شده است. دو سیستم گسلی دیگر با امتداد شمال‌باخته- جنوب‌خاوری و شمال‌خاوری- پیوند با گسل قینرجه- چهار طاق می‌باشند.

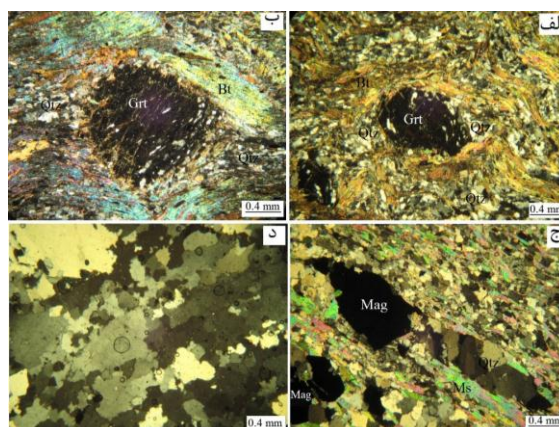
### زمین‌شناسی و سنگ‌شناسی منطقه گورگور

مهم‌ترین واحدهای سنگی رخمنون یافته در منطقه گورگور شامل واحدهای شیستی و کوارتزیت معادل سازند کهراست که با ارتقابی گسله در زیر واحدهای مرمی و دولومیتی قرار گرفته‌اند (شکل ۲). واحدهای شیستی اصلی ترین واحدهای سنگی منطقه هستند. براساس مطالعات سنگ‌نگاری، واحدهای شیستی به ترتیب فراوانی از نوع گارنت- میکا شیست، مسکویت شیست و بیوتیت شیست هستند.

سنگی منطقه هستند. براساس مطالعات سنگ‌نگاری، واحدهای شیستی به ترتیب فراوانی از نوع گارنت- میکا شیست، مسکویت شیست و بیوتیت شیست هستند. برپایه این مطالعات، بافت غالب در این سنگ‌ها شامل لپیدوگرانوبلاستیک، پورفیروپیلوبلاستیک و پورفیروپیوئیکیلوبلاستیک است (شکل ۳). مگنتیت و پیریت مهم‌ترین کانی‌های کدر را در واحدهای شیستی تشکیل می‌دهند. این کانی‌ها معمولاً به صورت دانه‌پراکنده دیده می‌شوند.



شکل ۲. نمایی از واحدهای سنگی موجود در منطقه گورگور (دید به سوی باخته). علامت‌های ستاره موقعیت زون کانه‌زایی آهن را نشان می‌دهد.



شکل ۳. تصاویر میکروسکوپی از کانی‌های تشکیل‌دهنده و بافت واحدهای سنگی در منطقه گورگور. الف- گارنت درشت‌بلور (بافت پورفیروپیوئیکیلوبلاستیک) در واحد گارنت- میکا شیست که فابریک کنگرهای آنرا دور می‌زند. ب- پورفیروکلاست‌گارنت با شیستوزیته داخلی کوارتز حاکی از رشد گارنت قبل از ایجاد فابریک کنگرهای در واحد گارنت- میکا شیست. واتنشی کوارتز اطراف پورفیروکلاست گارنت نیز در تصویر دیده می‌شود. ج- مسکویت شیست با عدسی‌های چندبلوری کوارتز (بافت لپیدوگرانوبلاستیک). د- گسترش شیستوزیته بسیار ضعیف در کوارتزیت. همه تصاویر در نور پلاریزه مقاطع. علامت استفاده شده در شکل‌ها: Bt: بیوتیت، Grt: گارنت، Kf: فلذیپات پتاسیم، Mag: مگنتیت، Ms: مسکویت، Qtz: کوارتز، Tur: تورمالین.

1996) متشکل از لایه‌های غنی از بیوپیت و غنی از کوارتز در سنگ‌های منطقه شده است. با توجه به دگرشکلی‌های شدید حاکم بر منطقه، تشخیص لایه‌بندی اولیه ( $S_0$ ) به سختی امکان‌پذیر است. دگرشکلی، لایه بندی اولیه (Platt, 1997) را تغییرداده و یک لایه بندی ترکیبی ( $S_1$ ) به وجود آورده است (Mohajjel, 1984; Platt, 1997). شواهد ساختاری دگرشکلی مرحله اول به دلیل دگرشکلی‌های مرحله بعدی به سختی نمایان است. اما اثرات آن به صورت باندهای تغیریقی، تبلور دوباره و رشد درشت بلورهای کوارتز، فلدسپات و گارنت در سنگ‌های منطقه قبل مشاهده است.

برگوارگی غالب منطقه ( $S_2$ ) طی دگرشکلی مرحله دوم ایجاد شده است. امتداد برگوارگی W-N-52-52 بوده و شبیه آن ۴۵ درجه به سمت شمال خاور می‌باشد. این مرحله از دگرشکلی بالای جاذبه‌هایی با سطح محوری خوابیده تا مایل و محور تقریباً افقی باروند کلی شمال باختری-جنوب خاوری همراه بوده است. این چن‌ها که از چین خوردن لایه‌بندی ترکیبی مرحله اول به وجود آمده‌اند سبب گسترش کیلواژ کرینیولیشن در سنگ‌های منطقه شده‌اند (شکل ۴-الف). از دیگر تغییرات ساختاری ایجاد شده در سنگ‌ها طی دگرشکلی مرحله دوم می‌توان به ساختارهای میکا ماهی، پدیده رشد در سایه فشار و یا سایه واتنشی، پورفیروکلاست‌های پوششی نوع سیگما، خاموشی موجی، تبلور دوباره دینامیکی، دور زدن بلورهای میکا در حاشیه پورفیروکلاست‌ها و ریزدانه‌شده‌گی اشاره کرد (شکل ۴). ساختارهای میکا ماهی معمولاً توسط فرآیندهای مانند لغزش، چرخش، بودنیاز و تبلور دوباره ایجاد می‌شوند (Spry, 1969). پدیده رشد در سایه فشار در نمونه‌های منطقه گورگور از رشد بلورهای کوارتز در حاشیه بلورهای پورفیروکلاست از جنس گارنت و مگنتیت در راستای عمود بر جهت بیشترین میزان فشار تشکیل شده و همروند با برگوارگی غالب سنگ می‌باشد (شکل ۴-ب). پورفیروکلاست‌های نوع سیگما مشاهده شده در واحدهای سنگی منطقه از جنس فلدسپات (شکل ۴-ج)، گارنت (شکل ۳-ب) و مگنتیت (شکل ۴-د) بوده و به طور معمول دنباله‌هایی از جنس کوارتز دارد.

دگرشکلی مرحله سوم ( $D_3$ )، جوان‌ترین دگرشکلی موجود در منطقه است که ساختارهای حاصل از آن بیشتر در مقیاس رخمنون دیده می‌شود. عملکرد این مرحله از دگرشکلی به دو صورت شکل‌پذیر (چین خورده‌گی) و شکنا (گسلش و درزه‌شده‌گی) می‌باشد. شگستگی‌ها و درزه‌های مربوط به این مرحله روند برگوارگی نسل دوم را قطع کرده‌اند.

مسکویت شیسته‌ها از مسکویت، کوارتز، فلدسپات و مقدار بسیار جزئی بیوپیت تشکیل شده‌اند. آثار دگرگونی و دگرشکلی در این سنگ‌ها به صورت لایه‌بندی تغیریقی و رشد ثانویه کانی‌های کوارتز، فلدسپات و میکا می‌باشد. مهاجرت مرز بلوری و تشکیل عدسی‌های چندبلوری با حاشیه‌های بلوری نامنظم ناشی از تبلور دوباره دینامیکی و خاموشی موجی از ویژگی‌های بلورهای کوارتز در مسکویت شیسته‌ها است (شکل ۳-ج). با توجه به نوع کانی‌های دگرگونی، درجه دگرگونی در این سنگ‌ها رخساره شیست سیز تا آمیغیولیت پائینی است (Yardley et al., 1990; Barker, 1991).

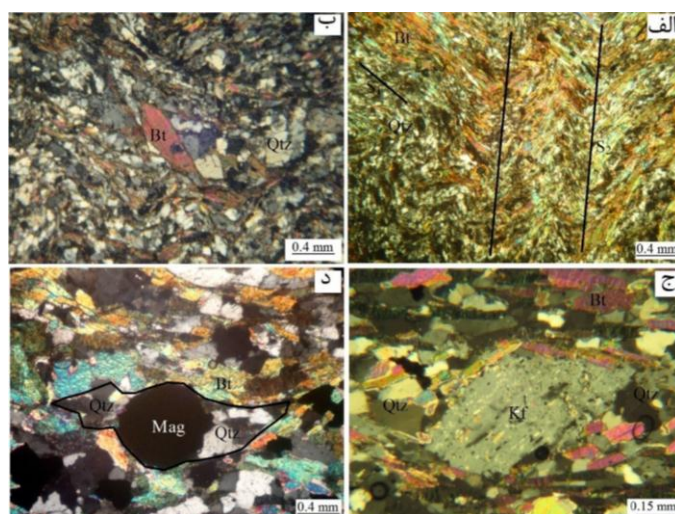
بیوپیت، مسکویت، کوارتز و فلدسپات از کانی‌های اصلی تشکیل‌دهنده در بیوپیت شیسته‌ها به شمار می‌روند. بیوپیت‌ها معمولاً بیش از ۴۰ درصد حجم سنگ را تشکیل می‌دهند. تفکیک نواههای غنی از کوارتز و نواههای غنی از بیوپیت و مسکویت یکی از مهم‌ترین ویژگی‌های بافتی در واحدهای بیوپیت شیستی منطقه است. این لایه‌بندی که در واقع یک نوع لایه‌بندی ترکیبی است (Turner and Weiss, 1963)، بیشتر بازتابی از ترکیب شیمیابی سنگ اولیه می‌باشد (Passchier and Trouw, 1997).

نتایج مطالعات سنگ‌نگاری واحدهای کوارتزی نشان می‌دهد که این سنگ‌ها به طور عمده از کوارتز (تا ۸۰ درصد) با خاموشی موجی و حاشیه‌های مضرسی تشکیل شده‌اند. بلورهای کوارتز اغلب ناخودشکل و ایزوگرانولار هستند. بافت غالب در کوارتزیت‌ها گرانولوبلاستیک است. هرچند در برخی مناطق، آثار برگوارگی به صورت بسیار ضعیف در این سنگ‌ها قابل مشاهده است (شکل ۳-د). همانند واحدهای شیستی، مگنتیت و به میزان کمتر پیرویت، کانی‌های کدر مهمن در واحدهای کوارتزیتی هستند. این کانی‌ها به صورت دانه‌پراکنده دیده می‌شوند.

### دگرشکلی

براساس مطالعات ساختاری انجام شده، توالی‌های سنگی موجود در منطقه گورگور تحت تأثیر فازهای متعدد دگریختی قرار گرفته و ساختارها و فابریک-های متفاوتی در آنها تشکیل شده‌اند. برپایه این مطالعات، سه مرحله دگرشکلی ( $D_1$ - $D_3$ ) در منطقه گورگور قابل تشخیص است که در این بین، دگرشکلی مرحله دوم ( $D_2$ )، مهم‌ترین و غالب‌ترین مرحله دگرشکلی بوده و طی آن شدیدترین تغییرات ساختاری به وقوع پیوسته است.

دگرشکلی مرحله اول ( $D_1$ ) سبب گسترش برگوارگی نسل اول ( $S_1$ ) به صورت ساختارهای نواری و لایه‌بندی ترکیبی (Davis and Reynolds, 1980) است.



شکل ۴. تصاویر میکروسکوپی از ساختارهای دگرشکلی موجود در سنگ‌های منطقه گورگور. الف- گسترش کلیواژ کرینیولیشن ناشی از چین خوردن برگوارگی نسل اول ( $S_1$ ) و ایجاد برگوارگی نسل دوم ( $S_2$ ). ب- ساختار میکا ماهی. ج و د- پورفیروکلاست‌های پوششی نوع سیگما با هسته‌های فلدسپات پاتاسیم (ج) و مگنتیت (د) و دنباله‌هایی از جنس کوارتز. دور زدن بلورهای کوارتز در اطراف پورفیروکلاست‌ها نیز در هر دو تصویر قابل مشاهده است. همه تصاویر در نور پلاریزه متقاطع.

۲ سانتی‌متر) چینه‌سان و چینه‌کران در واحدهای شیستی مشاهده می‌شود (شکل ۶-الف تا ج). مرحله دوم کانه‌زایی، گستردگرترین و اقتصادی‌ترین مرحله کانه‌زایی در رخداد معدنی گورگور می‌باشد. کانه‌زایی مرحله دوم طی فرآیندهای دگرگونی و دگرشکلی منطقه تشکیل شده است. این مرحله از کانه‌زایی با فراوانی مگنتیت به همراه مقادیر کمی پیریت مشخص شده و شامل تناب نوارهای مگنتیت و کوارتز با ساخت نواری می‌باشد (شکل ۶-د و ۵). ضخامت نوارهای مگنتیت و کوارتز به طور معمول از چند میلی‌متر تا ۵ سانتی‌متر متغیر است. این نوارها به موازات برگوارگی واحدهای شیستی میزان بوده و همراه با آنها چین خوردگاند (شکل ۶-و). وجود چین خوردگی یکسان در نوارهای کوارتز-مگنتیت و واحدهای شیستی میزان نشان‌دهنده همزمانی تشکیل ماده معدنی و کانی‌های باطله و بیانگر تشکیل نوارهای کانه‌دار در حین دگرگونی و دگرشکلی منطقه می‌باشد (Roy and Venkatesh, 2009).

کانه‌زایی آهن در رخداد معدنی گورگور در محدوده‌ای به درازای ۱۵۰ متر و پهنای حداقل ۶۰ متر (متوسط ۲۵ متر) با روند شمال‌باقتر-جنوب‌خار (N-10-W-W-20-N) و شیب ۳۵ تا ۴۵ درجه به سمت شمال‌خار با ژئومتری عدسی شکل حادث شده است. سنگ درونگیر ماده معدنی شیسته‌های دگرشکل است که به طور متنابض با واحدهای کوارتزی قرار گرفته‌اند. کانه‌زایی آهن از برگوارگی واحدهای شیستی میزان تبعیت کرده و با آنها همروند است (شکل ۵). براساس مطالعات صحرایی و میکروسکوپی انجام شده، دو مرحله کانه‌زایی در رخداد معدنی آهن گورگور قابل تفکیک است. کانه‌زایی مرحله اول قبل از رخدادهای دگرگونی و دگرشکلی و هم‌مان با تشکیل واحدهای آتش‌شناختی-رسوبی میزان رخ داده است. این مرحله از کانه‌زایی به صورت مگنتیت‌های دانه‌پراکنده، لامینه‌ای و عدسی‌شکل (در اندازه‌های ۱ تا



شکل ۵. رخمنون ماده معدنی در گورگور. الف- عدسی آهن همروند با برگوارگی واحدهای شیستی و کوارتزیت (دید به سمت خاور). ب- عدسی اصلی آهن به موازات برگوارگی واحدهای شیستی میزان در بخش شمالی منطقه (دید به سمت باخته).



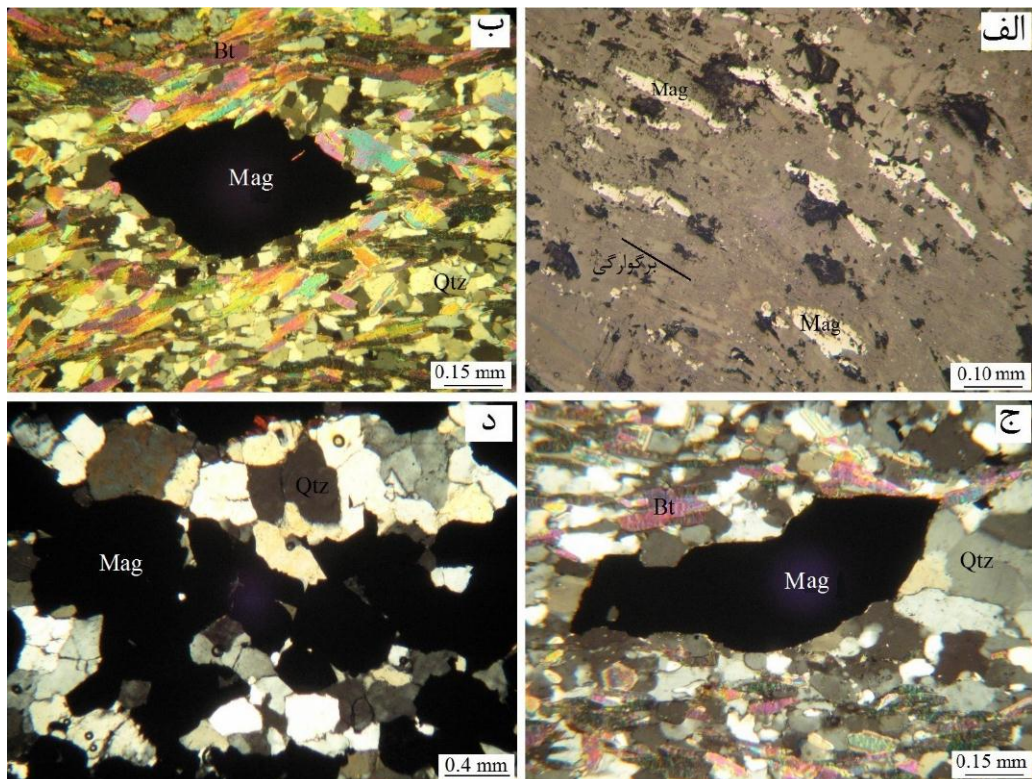
شکل ۶. مراحل کانه‌زایی در رخداد معدنی گورگور. الف تا ج- مرحله اول کانه‌زایی به صورت مگنتیت‌های (ذرات سیاه) دانه‌پراکنده (الف)، عدسی‌شکل (ب) و لامینه‌ای (ج) در واحدهای شیستی. د تا و- مرحله دوم کانه‌زایی به صورت تناب نوارهای مگنتیت (نوارهای تیره) و کوارتز (نوارهای روشن). چین خوردگی در نوارهای کانه‌دار در تصویر و دیده می‌شود.

**کانی‌شناسی و ساخت و بافت مواد معدنی و باطله**

مطالعات کانه‌نگاری نمونه‌های برداشت‌شده از بخش‌های کانه‌دار نشان-دهنده کانی‌شناسی ساده در رخداد معدنی آهن گورگور می‌باشد. براساس این مطالعات، مگنتیت و به مقدار کم پیریت، کانی‌شناسی اصلی ماده معدنی را تشکیل می‌دهند. هماتیت و گوتیت نیز در اثر پدیده‌های هوازدگی و سوپرژن تشکیل شده‌اند. مطالعات میکروسکوپی انجام‌شده نشان می‌دهد که بافت ماده معدنی به صورت دانه‌پراکنده، لامینه‌ای، نواری و توده‌ای است.

مگنتیت فراوان‌ترین ماده معدنی در رخداد معدنی گورگور است. براساس مطالعات میکروسکوپی می‌توان مگنتیت‌های موجود در بخش‌های کانه‌دار را به دو نسل تفکیک کرد. مگنتیت‌های نسل اول به صورت بلورهای درشت خودشکل تا نیمه‌خودشکل در اندازه‌های متغیر (به قطر حداقل ۶ میلی‌متر) بوده و غالباً به موازات برگوارگی سنگ میزان هستند (شکل ۷-الف). این نسل از مگنتیت فرآیندهای دگرشکلی مانند ساختارهای نوع سیگما، بودین شدگی و رشد سایه فشاری کانی‌های کوارتزی را در اطراف خود نشان می‌دهد (شکل‌های ۴-د و ۷-ب و ۷-ج). که بیانگر حضور آنها در پروتولیت، قبل از فرآیندهای دگرگونی و دگرشکلی است (Spry, 1969; Passchier and Trouw, 1997). نسل دوم مگنتیت هم‌زمان با فرآیندهای دگرگونی و دگرشکلی تشکیل شده است. این مگنتیت‌های به صورت بلورهای درشت ناخودشکل تا خودشکل به قطر حداقل یک سانتی‌متر در نوارهای مگنتیتی قابل مشاهده‌اند (شکل ۷-د).

پیریت تنها سولفید موجود در پهنه‌های کانه‌دار رخداد معدنی گورگور است که به صورت بلورهای ریز و بعض‌اً درشت تا اندازه ۰/۳ میلی‌متر دیده می‌شود. پیریت‌های ریزبلور اغلب به صورت بلورهای دانه‌پراکنده ناخودشکل و سالم



شکل ۷. نمایی میکروسکوپی از مگنتیت‌های نسل اول و دوم در رخداد معدنی گورگور. الف- مگنتیت‌های نسل اول به صورت بلورهای کشیده در راستای برگوارگی واحدهای میزان. ب- درشت‌بلور مگنتیت نسل اول با ساختار سیگما. ج- بودین شدگی در درشت‌بلور مگنتیت نسل دوم در نوارهای مگنتیتی و کوارتزی. تصویر الف در نور انعکاسی و بقیه تصاویر در نور پلاریزه متقاطع.

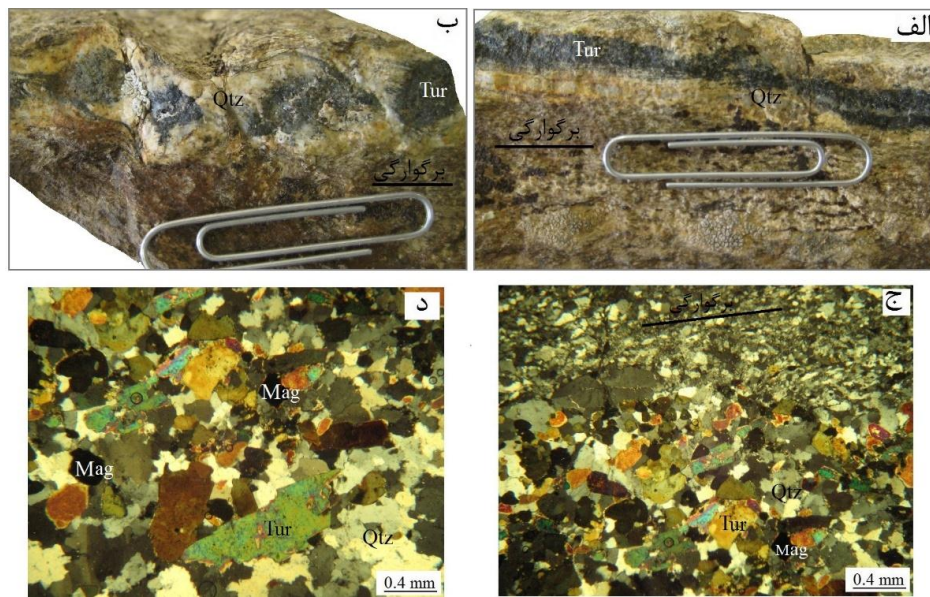
| Mineralogy |              | Stages | Stage 1 | Stage 2 | Supergene |
|------------|--------------|--------|---------|---------|-----------|
| Ore        | Magnetite    |        | —       | —       |           |
|            | Pyrite       |        | —       |         |           |
|            | Hematite     |        |         | —       |           |
|            | Goethite     |        |         | —       |           |
| Gangue     | Quartz       |        | —       |         |           |
|            | Tourmaline   |        | —       |         |           |
|            | Sericite     |        | —       |         |           |
| Textures   | Disseminated | —      |         |         |           |
|            | Laminated    | —      |         |         |           |
|            | Lens-shaped  | —      |         |         |           |
|            | Banded       |        | —       |         |           |
|            | Massive      |        | —       |         |           |

شکل ۸. توالی پاراژنتیک، فراوانی نسبی و ساخت و بافت کانی‌ها برای مواد معدنی و باطله در رخداد معدنی آهن گورگور.

### دگرسانی

(به قطر ۱ تا ۳ میلی‌متر) و مگنتیت‌های نیمه‌خودشکل ریزبلور تشکیل شده‌اند (شکل ۹-ب). دگرسانی کوارتز-تورمالینی منطبق بر پهنه‌های کانه‌دار بوده و با افزایش شدت آن، بر شدت کانه‌زایی افزوده می‌شود. دگرسانی سریسیتی به صورت سریسیت‌های ریزبلور در زمینه و در شکستگی‌های کوچک حاصل از مراحل دگرشکلی تجمع یافته و بعضًا به صورت لکه‌های ریز بر روی فلدسپات‌هادیده می‌شوند

براساس مطالعات انجام‌شده، دگرسانی گرمابی در رخداد معدنی آهن گورگور دارای وسعت چندانی نبوده و به بخش‌های کوارتز-تورمالینی و سریسیتی شده پهنه‌های کانه‌دار محدود می‌شود. دگرسانی کوارتز-تورمالینی به صورت‌گچه‌ها و عدسی‌های کوارتز-تورمالینی همروند با برگوارگی واحدهای شیستی به سمت‌های متر رخداده است (شکل ۹-الف). در مقاطع نازک، این بخش‌ها به طور گسترده از کوارتز‌های ناخودشکل (به قطر تا ۳ میلی‌متر)، بلورهای تورمالین سبزتا قهوه‌ای رنگ نیمه‌خودشکل تا خودشکل



شکل ۹. نمایی از دگرسانی کوارتز-تورمالینی در رخداد معدنی گورگور. الف و ب- دگرسانی کوارتز-تورمالینی به صورت رگچه‌های (الف) و عدسی‌شکل (ب) همروند با برگوارگی واحدهای شیستی. ج- نمایی میکروسکوپی از رگچه کوارتز-تورمالینی حاوی بلورهای کوارتز، تورمالین‌های سبز تا قهوه‌ای و مگنتیت‌های ریزبلور. د- نمایی دیگر از دگرسانی کوارتز-تورمالینی.

تصاویر میکروسکوپی در نور پلاریزه متقاطع.

### بحث و بررسی

#### داده‌های زمین‌شیمیایی سنگ‌های میزبان و زون‌های کانه‌دار

در این بخش، ویژگی‌های ژئوشیمیایی سنگ‌های میزبان رخداد معدنی آهن گورگور و زون‌های کانه‌دار آن مورد بررسی قرار گرفته است. هدف از این مطالعات، تعیین غنی‌شدگی و تهی‌شدگی‌های عنصری مرتبط با دگرسانی‌های

گرمابی در سنگ‌های میزبان و زون‌های کانه‌دار می‌باشد. نتایج آنالیزهای شیمیایی نمونه‌های منطقه گورگور در (جدول ۱) آورده شده‌اند.

#### ویژگی‌های زمین‌شیمیایی سنگ‌های میزبان

الگوی عناصر نادر خاکی برای یک نمونه از واحدهای شیستی فاقد کانه‌زایی، یک نمونه از کوارتزیت و دو نمونه از واحدهای شیستی حاوی مگنتیت‌های دانه پراکنده در (شکل ۱۰) نشان داده شده‌اند. الگوی این عناصر برای

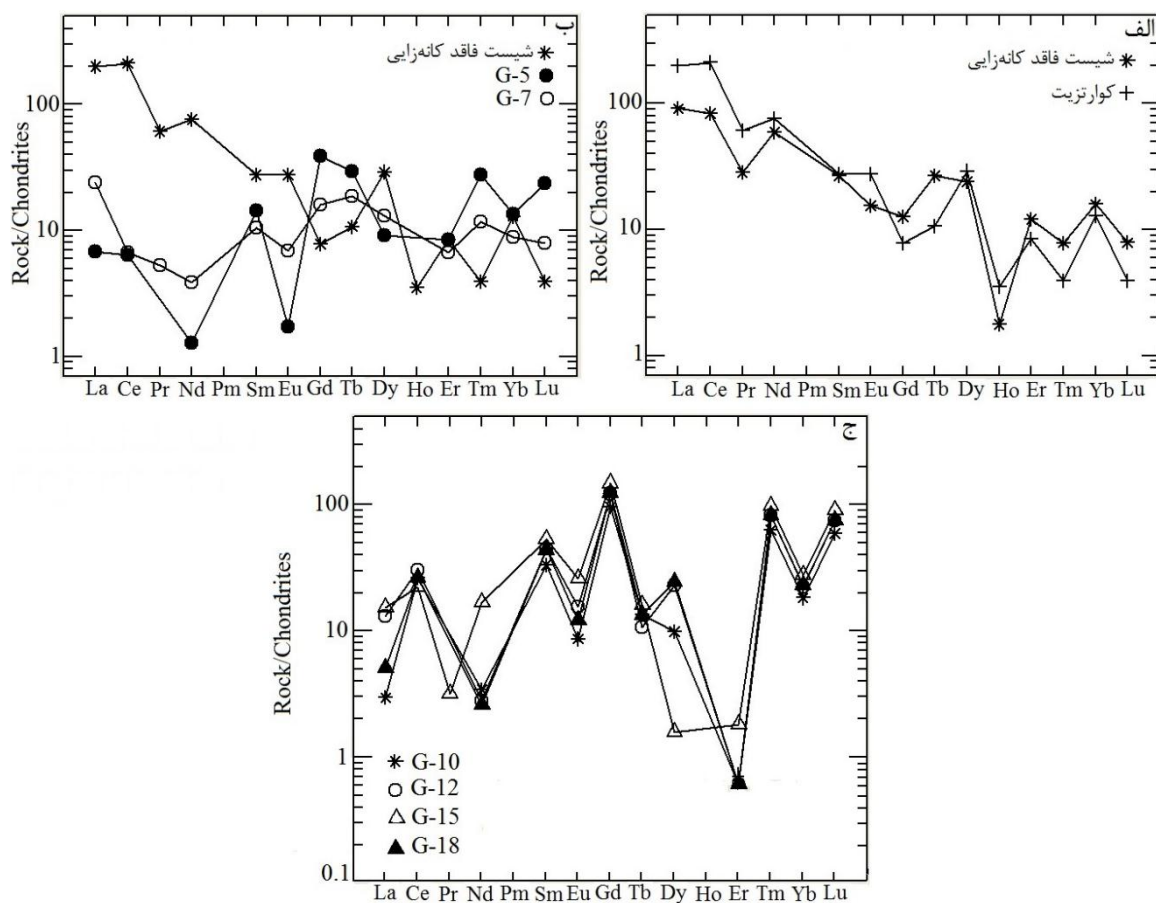
ها مشابه پراکندگی آنها در سنگ مادر اولیه آنها است. مقایسه الگوی REE در شیستهای حاوی مگنتیت دانه‌پراکنده (نمونه‌های شماره‌های G-۵ و G-۷) و شیست فاقد کانه‌زایی (شکل ۱۰- ب) بیانگر تهی‌شدگی عناصر LREE و غنی‌شدگی عناصر HREE در نمونه‌های شیستی حاوی مگنتیت دانه‌پراکنده است. چنان رفتاری در الگوی عناصر REE می‌تواند در ارتباط با فرآیندهای دگرسانی و کانه‌زایی در نظر گرفته شود ( Lottermoser, 1992; Liegeois et al., 2003). آنومالی مثبت عناصر Nd و Eu در نمونه G-۷ را می‌توان به دگرسانی بیشتر این نمونه نسبت داد (Mucke et al., 2006).

نمونه شیستی فاقد کانه‌زایی و نمونه کوارتزیتی مشابه هم بوده و دارای شب منفی و غنی‌شدگی عناصر نادر خاکی سبک نسبت به عناصر نادر خاکی ستگین می‌باشد. نمونه شیستی آنومالی منفی بسیار ضعیفی از Eu دارد در حالی که نمونه کوارتزیتی آنومالی مثبت از این عنصر نشان می‌دهد. بهطور معمول میزان عناصر REE بدویزه LREE در حین دگرگونی پسروند رخساره شیست سبز و دگرسانی همراه با آن (عدمتأثر کلریتی و سریستی) کاهش می- یابند (Liegeois et al., 2003). عناصر HREE رفتاری عکس عناصر LREE دارند. عدم وجود این الگو برای نمونه شیستی فاقد کانه‌زایی و نمونه کوارتزیتی در رخداد معدنی گورگور نشان می‌دهد که الگوی REE در این سنگ-

جدول ۱. نتایج آنالیزهای شیمیایی عناصر کمیاب، فرعی و نادر خاکی برای سنگ‌های شیستی (نمونه‌های G-۲، G-۵، G-۷، G-۲۰)، کوارتزیتی (نمونه G-۲۰) و زون‌های کانه‌دار (نمونه‌های ۱۰- ۱۵، G-۱۲، G-۱۸ و G-۲۰) در رخداد معدنی آهن گورگور. تمامی داده‌ها بر حسب گرم در تن (ppm) می‌باشند.

| Sample no. | G-۲    | G-۵    | G-۷    | G-۱۰   | G-۱۲   | G-۱۵   | G-۱۸   | G-۲۰   |
|------------|--------|--------|--------|--------|--------|--------|--------|--------|
| Ag         | ۰/۱    | ۰/۱    | ۰/۱    | ۰/۲۱   | ۰/۹    | ۰/۳    | ۱/۷    | ۰/۱    |
| As         | ۱۲/۸   | ۰/۷    | ۰/۷    | ۴/۱    | ۴/۱    | ۳۶/۹   | ۱/۹    | ۱۰/۴   |
| Ba         | ۳۲۸/۷  | ۴۰۲/۶  | ۳۷۴/۸  | ۷۹۶/۴  | ۸۰۷/۲  | ۱۳۷۸/۲ | ۸۹۵/۱  | ۴۲۱    |
| Be         | ۲/۵    | ۲/۳    | ۳/۴    | ۲/۴    | ۰/۴    | ۰/۳    | ۰/۳    | ۳/۵    |
| Bi         | ۳۰/۸   | ۱۰۵/۴  | ۳۸/۸   | ۲۷۱/۸  | ۳۵۴/۸  | ۴۲۷/۶  | ۳۵۱/۵  | ۲۰/۲   |
| Co         | ۱۱/۹   | ۱۶/۶   | ۳/۴    | ۱۹/۲   | ۱۸/۳   | ۱۲/۹   | ۱۸/۷   | ۳/۷    |
| Cr         | ۴۵۵/۶  | ۴۰۵/۹  | ۲۸۹/۹  | ۱۹۲/۳  | ۷۵۰/۱  | ۵۵۲/۲  | ۵۶۵/۶  | ۷۲۲/۱  |
| Rb         | ۷۶/۵   | ۳۷/۹   | ۱۹۶/۸  | ۷۷/۱   | ۱      | ۱/۴    | ۲/۱    | ۷۷/۴   |
| S          | ۸۸/۵   | ۶۴/۷   | ۵۳/۶   | ۴۶/۲   | ۲۴۴/۸  | ۱۲۲۲/۵ | ۳۶۶/۲  | ۱۱۸/۴  |
| Sb         | ۱۷     | ۱۴     | ۱۸/۲   | ۲۴/۱   | ۳۲/۸   | ۳۷/۱   | ۲۸/۳   | ۲۰     |
| Sn         | ۷      | ۲۱     | ۸/۵    | ۵۶/۹   | ۶۶/۱   | ۸۲/۷   | ۶۶/۶   | ۳/۹    |
| Sr         | ۱۲۲    | ۱۶/۵   | ۱۰/۳   | ۷/۸    | ۸/۶    | ۲۸/۳   | ۱۱/۷   | ۱۸۴/۱  |
| Ta         | ۱/۵    | ۱/۹    | ۱/۱    | ۵      | ۶/۵    | ۹/۶    | ۸/۳    | ۱/۳    |
| Te         | ۰/۷    | ۲/۱    | ۰/۸    | ۵/۴    | ۶/۷    | ۸      | ۶/۸    | ۰/۴    |
| Ti         | ۴۰۰۴/۸ | ۴۴۴۴/۴ | ۲۷۶۰/۳ | ۱۱۲۵/۸ | ۱۵۴/۸  | ۱۶۵/۵  | ۱۵۷/۸  | ۱۵۰۸/۹ |
| Li         | ۲۶/۳   | ۴۹/۹   | ۲۶/۲   | ۱۳     | ۳/۴    | ۲/۶    | ۲/۹    | ۱۴/۶   |
| Mn         | ۲۷۵/۲  | ۴۱۰/۵  | ۱۱۷/۴  | ۲۰۱/۹  | ۳۷۶۶/۵ | ۶۲۲۸/۱ | ۲۷۲۵/۲ | ۱۵۶    |
| Mo         | ۱/۵    | ۰/۹    | ۰/۹    | ۱/۶    | ۶/۴    | ۶/۳    | ۱/۷    | ۰/۴    |
| Nb         | ۱۳     | ۷/۵    | ۱۷/۷   | ۱۳/۷   | ۵/۶    | ۹/۶    | ۶/۱    | ۹۳/۱   |
| Ni         | ۴/۴۵   | ۵۹/۷   | ۶/۷    | ۲۰/۹   | ۲۱     | ۱۵/۳   | ۱۶/۳   | ۱۷/۸   |
| P          | ۱۰۶۹/۵ | ۵۷۱/۱  | ۴۵۶/۲  | ۲۱۸/۳  | ۴۳۰    | ۶۱۰/۴  | ۲۰۶/۸  | ۱۴۶۶   |
| Pb         | ۲۶/۶   | ۲۹     | ۳۶/۲   | ۵۷/۸   | ۱۶۶۱   | ۷۰۳/۹  | ۶۲۰/۷  | ۳۲/۷   |
| Cs         | ۹      | ۲۹/۵   | ۱۱/۳   | ۷۲/۸   | ۹۳/۶   | ۱۱۳/۲  | ۹۴/۳   | ۴/۹    |
| Cu         | ۵/۶    | ۲/۲    | ۳/۳    | ۲/۳    | ۸/۸    | ۱۹/۷   | ۶/۵    | ۹/۳    |
| Ga         | ۱۴/۳   | ۲۵/۷   | ۱۷/۲   | ۴۷/۲   | ۵۰     | ۵۷/۸   | ۴۹/۷   | ۱۶/۵   |
| Ge         | ۰/۷    | ۲/۱    | ۰/۴    | ۴/۵    | ۸/۴    | ۱۲/۲   | ۷/۹    | ۱/۴    |
| Hf         | ۲/۱    | ۱/۹    | ۱/۸    | ۱/۳    | ۳/۵    | ۵/۶    | ۲/۵    | ۰/۶    |
| Hg         | <۰/۰۵  | <۰/۰۵  | <۰/۰۵  | <۰/۰۵  | <۰/۰۵  | <۰/۰۵  | <۰/۰۵  | <۰/۰۵  |
| Th         | ۱۰/۳   | ۲۲/۴   | ۱۱/۷   | ۵۲     | ۶۳/۹   | ۷۵/۹   | ۶۳/۳   | ۷/۸    |
| Tl         | ۱/۸    | ۱/۵    | ۱/۸    | ۱      | ۱/۳    | ۱/۳    | ۱/۷    | ۲/۱    |
| U          | ۰/۱    | ۰/۱    | ۰/۱    | ۰/۱    | ۰/۱    | ۰/۱    | ۰/۱    | ۰/۶    |
| W          | ۱۰/۸   | ۸/۴    | ۱۱/۴   | ۷۰/۶   | ۸۶/۲   | ۱۰۱/۵  | ۸۶/۵   | ۵/۶    |
| Y          | ۲۰/۵   | ۷/۶    | ۱۱/۲   | ۲/۵    | ۲/۶    | ۶/۵    | ۱/۸    | ۱۹/۸   |
| V          | ۹۱/۴   | ۱۶۶/۷  | ۳۲     | ۷۶     | ۱۵۸/۲  | ۱۳۷/۶  | ۱۱۰/۸  | ۲۸/۷   |
| Zn         | ۲/۲۷   | ۱۰۹/۱  | ۲۱/۶   | ۱۳۳/۱  | ۷۲۸/۸  | ۵۲۰/۸  | ۳۸۳/۳  | ۳/۳    |
| Zr         | ۷/۴    | ۹/۱    | ۱۶/۱   | ۳۷/۶   | ۱۹/۷   | ۲۵/۲   | ۲۳/۶   | ۵۸/۵   |

| Sample no.                          | G - 2 | G - 5 | G - 7                    | G - 10 | G - 12 | G - 15             | G - 18 | G - 20         |
|-------------------------------------|-------|-------|--------------------------|--------|--------|--------------------|--------|----------------|
| La                                  | 21/6  | 1/6   | 5/7                      | 0/7    | 3/1    | 2/6                | 1/2    | 47/2           |
| Ce                                  | 51/1  | 3/9   | 4/1                      | 16     | 18/6   | 13/6               | 16/2   | 129/1          |
| Pr                                  | 2/7   | .     | 0/5                      | .      | .      | 0/3                | .      | 5/8            |
| Nd                                  | 27/6  | 0/6   | 4/8                      | 1/6    | 1/3    | 7/8                | 1/2    | 35/5           |
| Sm                                  | 4/1   | 2/2   | 1/6                      | 5/1    | 6/4    | 8/1                | 6/7    | 4/2            |
| Eu                                  | 0/9   | 0/1   | 0/4                      | 0/5    | 0/9    | 1/5                | 0/7    | 0/6            |
| Gd                                  | 2/6   | 8     | 3/3                      | 19/7   | 25/1   | 30/4               | 25/3   | 1/6            |
| Tb                                  | 0/1   | 1/1   | 0/7                      | 0/5    | 0/4    | 0/6                | 0/5    | 0/4            |
| Dy                                  | 6/1   | 2/3   | 3/3                      | 2/5    | 5/8    | 0/4                | 6/2    | 7/4            |
| Ho                                  | 0/1   | .     | .                        | .      | .      | .                  | .      | 0/2            |
| Er                                  | 2     | 1/4   | 1/1                      | 0/1    | 0/1    | 0/3                | 0/1    | 1/4            |
| Tm                                  | 0/2   | 0/7   | 0/3                      | 1/6    | 2/1    | 2/5                | 2/1    | 0/1            |
| Yb                                  | 2/7   | 2/3   | 1/5                      | 3/1    | 3/8    | 4/7                | 3/9    | 2/2            |
| Lu                                  | 0/2   | 0/6   | 0/2                      | 1/5    | 1/9    | 2/3                | 1/9    | 0/1            |
| سنگ میزان حاوی کانه‌زایی            |       |       | سنگ میزان فاقد کانه‌زایی |        |        | نمونه‌های کانه‌دار |        |                |
| $\sum \text{LREE}$                  |       |       |                          |        |        |                    |        | 86/115/2825/87 |
| $\sum \text{HREE}$                  |       |       |                          |        |        |                    |        | 14/139/364/85  |
| $\sum \text{LREE}/\sum \text{HREE}$ |       |       |                          |        |        |                    |        | 0/117/191/28   |



شکل ۱۰. الگوی توزیع عناصر نادر خاکی در واحدهای شیستی و کوارتزیتی فاقد کانه‌زایی (الف)، شیستهای حاوی مگنتیت دانه‌پراکنده (ب) و بخش‌های کانه‌دار (ج) در رخداد معدنی گورگور که نسبت به کندریت (Sun and McDonough, 1989) بهنجار شده‌اند.

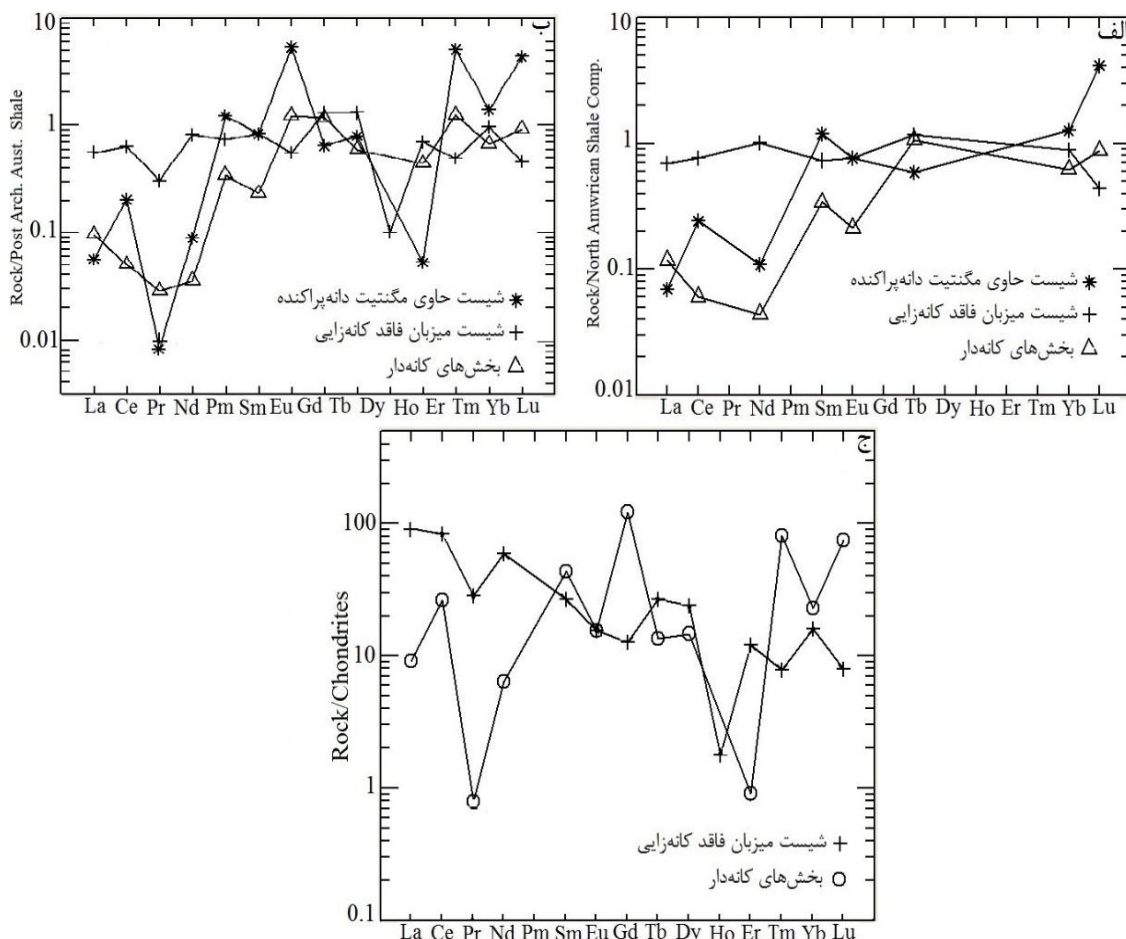
کانه‌ساز را نشان می‌دهد (Whitford et al., 1988; Parak, 1985; Dokuz et al., 2005; Wang et al., 2006) و مشابه الگوی عنصر REE در شیسته‌های میزبان فاقد کانه‌زایی، شیسته‌های میزبان حاوی مگنتیت دانه‌پراکنده و بخش‌های کانه‌دار که نسبت به شیل‌های امریکا (Gromet et al., 1984) و استرالیا (Taylor and McLennan, 1985) بهنجار شده‌اند (شکل ۱۱-الف و ب) بیانگر منشاء یکسان برای آنها است.

#### تهی شدگی و غنی شدگی عناصر در زون‌های کانه‌دار

به منظور بررسی تهی شدگی و غنی شدگی عناصر طی کانه‌زایی در رخداد معنی گورگور، میانگین داده‌های مربوط به نمونه‌های کانه‌دار نسبت به میانگین داده‌های مربوط به سنگ‌های میزبان فاقد کانه‌زایی بهنجار گردید تا عناصر اضافه و یا کم شده به سنگ طی کانه‌زایی مشخص گردد. لازم به ذکر است که این روش کیفی بوده و برای تعیین میزان کمی تهی شدگی و غنی شدگی عناصر، نیاز به محاسبات موازن جرم است که در این پژوهش انجام نشده است. بررسی الگوی بهنجار شده عناصر فرعی و REE در بخش‌های کانه‌دار خداد معنی گورگور نشان می‌دهد که اغلب عناصر فرعی و REE در بخش‌های کانه‌دار نسبت به سنگ‌های میزبان فاقد کانه‌زایی تهی شده‌اند. مقایسه با سنگ‌های میزبان فاقد کانه‌زایی، بخش‌های کانه‌دار از عناصر Cs, Zn, Tm, Sm, Ce, Pr, Nd, Eu, Gd, Tb, Dy, Ho, Er, Tm, Yb, Lu و Ba غنی شده‌اند.

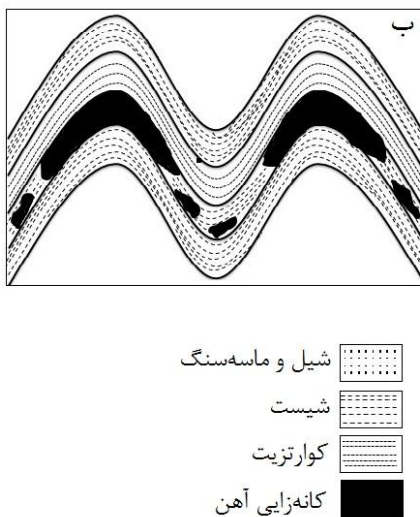
#### ویژگی‌های زمین‌شیمیایی زون‌های کانه‌دار

الگوی REE در بخش‌های کانه‌دار (شکل ۱۰-ج) دارای یک شیب مثبت و غنی شدگی نسبی در HREE نسبت به LREE همراه با غنی شدگی مشخص‌idor میزان عنصر Ce, Sm, Tm, Lu و Gd و تهی شدگی در عنصر Er می‌باشد. معمولاً لانتانیدهای سبک نسبت به لانتانیدهای سنگین، Kikawada et al., 2001 بیشتر توسط سیالات اسیدی شسته می‌شوند (HREE را می‌توان به دگرسانی سیلیسی بخش‌های کانه‌دار ارتباط داد. به عقیده Terakado and Fujitani (1998) در سیالات گرمایی، لانتانیدهای سنگین وارد شبکه کانه‌های سیلیکاته شده و به شدت در بخش‌های سیلیسی حفظ می‌شوند. سریم علاوه بر ظرفیت ۳، می‌تواند متناسب با شرایط احیایی و اکسیدان محیط به ترتیب دارای ظرفیت‌های ۴ و ۲ باشد. Ce<sup>4+</sup> در محیط‌های اکسیدی به راحتی به اکسید شده و از طریق جذب سطحی توسط هیدرولیزات‌ها و ذرات معلق حمل و از محیط خارج می‌شود (Spangenberg et al., 1999). این رو، آنومالی‌های مثبت سریم در بخش‌های کانه‌دار منطقه را احتمالاً بتوان به فرآیندهای دگرسانی گرمایی ارتباط داد (Appel, 1983; Bau, 1991; Lottermoser, 1992). آنومالی منفی Eu تأثیر فرآیندهای دگرسانی گرمایی و خروج آن از محیط توسط کمپلکس‌ها و شرایط اکسیدان سیال



شکل ۱۱. الف و ب- مقایسه الگوی عناصر نادر خاکی برای شیست میزبان فاقد کانه‌زایی، شیسته‌های میزبان حاوی مگنتیت دانه‌پراکنده و بخش‌های کانه‌دار که نسبت به شیل‌های آمریکا (الف) و استرالیا (ب) بهنجار شده‌اند. نمودار شیسته‌های میزبان حاوی مگنتیت دانه‌پراکنده و بخش‌های کانه‌دار مربوط به میانگین داده‌های آنها می‌باشد. ج- نمودار تمرکز عناصر نادر خاکی در بخش‌های کانه‌دار و شیست میزبان فاقد کانه‌زایی در رخداد معنی گورگور که نسبت به کندریت (Sun and McDonough, 1989) بهنجار شده‌اند.

تیپ و خاستگاه کانه‌زایی آهن در رخداد معدنی گورگور با توجه به مطالعات انجام شده در این پژوهش و همچنین مقایسه ویژگی‌های زمین‌شناسی، کانی‌شناسی و ساخت و بافت ماده معدنی در رخداد معدنی گورگور و تیپ‌های مختلف کانسارهای آهن، کانه‌زایی آهن در رخداد معدنی گورگور شباخت زیادی با کانسارهای آهن تیپ آتشفسانی-رسوبی دگرگون شده (توكلی، ۱۳۸۳؛ فربانی، ۱۳۸۶؛ Smirnov et al., 1983؛ Ashley et al., 2009؛ Roy and Venkatesh, 2009) دارد. شواهدی از قبیل ژئومتری عدسی‌شکل و بافت‌های دانه‌پراکنده، لامینهای و نواری ماده معدنی تأیید کننده این مطلب است. براساس مطالعات صحرایی، میکروسکوپی و زمین‌شیمیایی، مراحل توکین و تکامل این رخداد معدنی را می‌توان در ۳ مرحله خلاصه کرد (شکل ۱۲):



مرحله سوم: این مرحله با بالاًمدگی ناحیه‌ای و توسعه فرآیندهای هوازدگی و فرسایش همراه است.

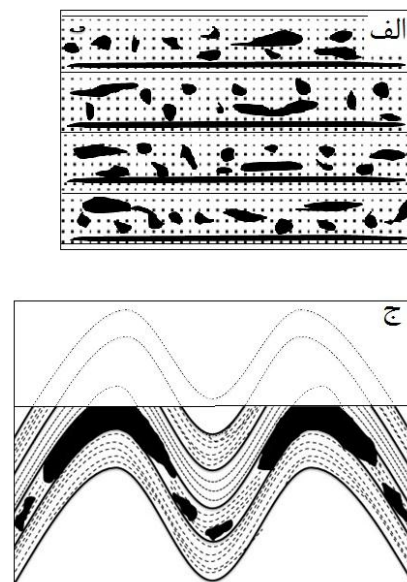
#### نتیجه‌گیری

شواهدی از قبیل مشاهدات صحرایی، ژئومتری، ساخت و بافت، سنگ میزبان، پلارائز، زمین‌شیمی و دگرسانی‌های تشکیل شده در رخداد معدنی آهن گورگور، همگی حاکی از آن است که این رخداد معدنی را می‌توان در ردیف کانسارهای آهن تیپ آتشفسانی-رسوبی دگرگون شده تقسیم‌بندی کرد. ارتباط زمین‌شناسی نزدیک رخداد معدنی گورگور با واحدهای آتشفسانی-رسوبی دگرشکل و دگرگون شده (رخساره شیست سبز) نشان می‌دهد که این مجموعه‌ها یعنی از نظر اکتشاف آهن حائز اهمیت بالایی هستند. بررسی این واحدهای سنگی در منطقه حلب و شمال‌باختر کشور و تعمیم شواهد بدست آمده از آنها به مناطق مشابه در زون سندنج-سیرجان می‌تواند کاربرد فراوانی در شناسایی و اکتشاف این تیپ از کانسارهای آهن داشته باشد.

#### سپاس‌گذاری

نویسنده‌گان از حمایت‌های مالی دانشگاه زنجان برای انجام این پژوهش تشکر می‌نمایند. همچنین نویسنده‌گان بر خود لازم می‌دانند از سردبیر و داوران مجله زمین‌شناسی کاربردی پیشرفت‌هه به خاطر راهنمایی‌های علمی که منجر به غنای بیشتر مقاله حاضر گردیده است، تشکر نمایند.

مقایسه الگوی عناصر REE در شیست میزبان فاقد کانه‌زایی و بخش‌های کانه‌دار که نسبت به کندریت (Sun and McDonough, 1989) نشان می‌دهد که بخش‌های کانه‌دار در مقایسه با شیست میزبان فاقد کانه‌زایی از عناصر LREE (به جز Sm) تهی شده‌اند. با این وجود، هیچ‌گونه تفاوتی در میزان Eu برای این بخش‌ها و شیست میزبان فاقد کانه‌زایی دیده نمی‌شود. برایا این الگوها، مقدار اغلب عناصر HREE در بخش‌های کانه‌دار افزایش یافته است. کاهش مشخص در مقدار عناصر LREE در بخش‌های کانه‌دار در رخداد معدنی گورگور نشان می‌دهد که حجم و یا ژئوشیمی سیالات گرمایی برای تحرک این عناصر کافی و مناسب بوده و بیانگر میزان بالای واکنش بین سیالات کانه‌زا و سنگ میزبان است.



مرحله نخست: این مرحله با تشکیل توالی‌های آتشفسانی-رسوبی منطقه همراه می‌باشد. در این مرحله کانه‌زایی آهن به عنوان یک پتانسیل اولیه و به صورت دانه‌پراکنده، لامینهای و عدسی‌شکل از نوع آتشفسانی-بروندمی هم‌مان با واحدهای میزبان تشکیل شده است. وجود شواهدی از قبیل پدیده رشد در سایه فشار و دور زدن برگوارگی اطراف بلورهای مگنتیت، هم‌مانی تشکیل مواد معدنی و کانی‌های سنگ‌ساز و تدریجی بودن مزین لامینه‌های مگنتیتی و کوارتزی این مطلب را تأیید می‌کند.

مرحله دوم: در این مرحله، واحدهای سنگی منطقه تا رخساره شیست سبز دگرگون و دگرشکل شده و کانه‌زایی اولیه موردن رونقشی و تحرک دوباره قرار گرفته است. فرآیندهای دگرگونی ناحیه‌ای از طریق تجزیه کانی‌های آبدار و خروج سیالات بین‌دانه‌ای از واحدهای آتشفسانی-رسوبی سبب تولید و آزادسازی سیالات دگرگونی می‌شوند. این سیالات هم‌مان از طریق پنهنه‌های بُرشی به سمت بالا حرکت کرده و در مسیر خود آهن را از واحدهای آتشفسانی-رسوبی شسته و به صورت نوارهای مگنتیتی و کوارتزی تمرکز دوباره می‌دهند. هم‌وند بودن ماده معدنی با برگوارگی واحدهای دگرگونی میزبان و وجود چین‌خوردگی‌های مشابه در سنگ میزبان و ماده معدنی تأیید کننده این مطلب است.

- باباخانی. ع.، و قلمقاش. ح.، ۱۳۸۴، نقشه زمین‌شناسی ۱:۱۰۰۰۰۰ تخت سلیمان، سازمان زمین‌شناسی و اکتشافات معدنی کشور. تاج‌الدین. ح. ع.، راستاد. ا.، یعقوب‌پور. ع. م. و مجل. م.، ۱۳۸۹، مراحل تشکیل و تکوین کانسار سولفید تودهای غنی از طلای باریکا، خاور سردهشت، شمال باختر پهنه دگرگونه سنندج-سیرجان: براساس مطالعه ساخت، بافت و میکروترموتری سیالات درگیر، مجله زمین‌شناسی اقتصادی، شماره ۱، جلد ۲، ص ۹۷-۱۲۱.
- توكلی. ح.، ۱۳۸۳، کانی‌شناسی، ژئوشیمی و خاستگاه کانسارهای آهن شمال‌غرب همدان، پایان‌نامه کارشناسی ارشد، دانشگاه تربیت مدرس.
- حلاجی. ا. و یعقوب‌پور. ع. م.، ۱۳۷۳، منشاء کانسار آهن گل‌گوهر. مجموعه مقالات چهارمین سمپوزیوم معدن کاری ایران، جلد ۱، دانشگاه یزد.
- راستگوی مقدم. غ. ر.، ۱۳۸۴، زمین‌شناسی، کانی‌شناسی، ژئوشیمی و فابریک کانه‌زایی طلا در کانسار زرترشت، زون سنندج-سیرجان (جنوب‌باختر سیزواران)، پایان‌نامه کارشناسی ارشد، دانشگاه تربیت مدرس.
- رشیدنژاد عمران. ن.، ۱۳۸۱، پترولوری و ژئوشیمی سنگ‌های متاولکانو-سدیمنتری و پلوتونیک منطقه موته (جنوب دلیجان) با نگرشی ویژه به خاستگاه و کانی‌سازی طلا. رساله دکتری، دانشکده علوم پایه، دانشگاه تربیت مدرس.
- زمانیان. ح.، دولتشاهی. س. و زارعی سهامیه. ر.، ۱۳۹۱، زمین‌شناسی اقتصادی کانسار اسکارن آهن چنار علیا با تکیه بر بررسی میان‌بارهای سیال، شمال‌غرب همدان، مجله زمین‌شناسی کاربردی پیشرفته، شماره ۵، ص ۹-۱۹.
- سعادت. ق.، حاج‌علیلو. ب. و مؤذن. م.، ۱۳۹۲، تأثیر دگرگشکی بر کانسار آهن قادرآباد، جنوب‌شرق مهاباد، مجله زمین‌شناسی کاربردی پیشرفته، شماره ۸، ص ۷۱-۷۷.
- شرکت البرز کانی خاورمیانه، ۱۳۹۱، گزارش طرح اکتشاف مقدماتی محدوده معدنی آهن گورگور، سازمان صنعت، معدن و تجارت استان زنجان.
- علی‌یاری. ف.، ۱۳۹۰، عوامل کنترل‌کننده، سن، ژنز و تیپ کانه‌زایی طلا در کانسار زرترشت، جنوب غرب جیرفت، سنندج-سیرجان جنوبی، رساله دکتری، دانشکده علوم پایه، دانشگاه تربیت مدرس.
- فرهادیان. م. ب.، ۱۳۷۰، بررسی ژئوشیمیایی و کانی‌شناسی کانسارتندگستان نظام آباد اراک، پایان‌نامه کارشناسی ارشد، دانشکده مهندسی معدن، دانشگاه تهران.
- قربانی. م.، ۱۳۸۶، زمین‌شناسی اقتصادی، ذخایر معدنی و طبیعی ایران، انتشارات ایران زمین، ص ۴۹۲.
- کوهستانی. ح.، ۱۳۸۱، زمین‌شناسی، کانی‌شناسی، ژئوشیمی و فابریک کانه‌زایی طلا در پهنه‌های بُرشی ناحیه چاباغ در منطقه معدنی موته (جنوب‌باختر دلیجان)، استان اصفهان، پایان‌نامه کارشناسی ارشد، دانشگاه تربیت مدرس.
- کوهستانی. ح.، راستاد. ا.، رشدیدنژاد عمران. ن. و مجل. م.، ۱۳۸۵، کانه‌زایی طلا در پهنه‌های بُرشی شکل‌پذیر و شکنای کانسار چاباغ، منطقه معدنی موته، پهنه سنندج-سیرجان، فصلنامه علوم زمین، شماره ۶۰، ص ۱۴۲-۱۶۵.
- موسیوند. ف.، ۱۳۸۲، کانی‌شناسی، ژئوشیمی و ژنز کانه‌زایی مس در کمپلکس آتشفسانی-رسوبی سوریان در منطقه بوانات، استان فارس، پایان‌نامه کارشناسی ارشد، دانشکده علوم پایه، دانشگاه تربیت مدرس.
- موسیوند. ف.، ۱۳۸۸، زمین‌شناسی، ژئوشیمی و ژنز کانسار روی-سرپ-مس چاه‌گز، جنوب شهر بابک و مقایسه آن با کانسار مسیوسولفاید ولکانوژنیک مس-روی-نقره بوانات در جنوب زون سنندج-سیرجان، رساله دکتری، دانشکده علوم پایه، دانشگاه تربیت مدرس.
- یار محمدی. ع.، ۱۳۸۵، زمین‌شناسی، کانی‌شناسی، ژئوشیمی و فابریک کانه‌زایی طلا در پهنه بُرشی باریکا (جنوب‌باختر سقر)، پایان‌نامه کارشناسی ارشد، دانشکده علوم پایه، دانشگاه تربیت مدرس.
- Alavi. M., 1994, Tectonics of the Zagros orogenic belt of Iran: New data and interpretations, *Tectonophysics*, Vol: 229, p: 211-238.
- Alavi. M., 2004, Regional stratigraphy of the Zagros fold-thrust belt of Iran and its proforeland evolution, *American Journal of Science*, Vol: 304, p: 1-20.
- Appel. P.W.U., 1983, Rare earth element in the early Archaean Isua iron-formation, west Greenland, *Journal of Precambrian Geology*, Vol: 20, p: 243-258.
- Ashley. P.M., Lottermoser. B.G., and Westaway. J.M., 1998, Iron-formation and epigenetic ironstones in the Palaeoproterozoic Willyama Supergroup, Olary Domain, South Australia, *Mineralogy and Petrology*, Vol: 6, p: 187-218.
- Badrzadeh. Z., Barrett. T.J., Peter. J.M., Gimeno. D., Sabzehei. M. and Aghazadeh. M., 2011, Geology, mineralogy and sulfur isotope geochemistry of the Sargaz Cu-Zn volcanogenic massive sulfide deposit, Sanandaj-Sirjan zone, Iran, *Mineralium Deposita*, Vol: 46, p: 905-923.
- Badrzadeh. Z., Peter. J.M., Aghazadeh. M., and Barrett. T.J., 2010, Sargaz: a bimodal-mafic volcanogenic massive sulfide (VMS) deposit in Kerman, southeast Iran, 13<sup>th</sup> Quadrennial IAGOD Symposium, Adelaide.
- Barker. A.J., 1991, An introduction to metamorphic textures and microstructures, Oxford University press, p: 209.
- Bau. M., 1991, Rare earth element mobility during hydrothermal and metamorphic fluid-rock interaction and the significance of the oxidation state of europium, *Chemical Geology*, Vol: 93, p: 219-230.
- Best. M.G., 2003, Igneous and metamorphic petrology, Blackwell publishing, p: 729.
- Davis. G.H., and Reynolds. S.J., 1996, Structural geology of rocks and regions (2<sup>nd</sup> edition), New York, John Wiley and Sons, Inc., p: 776.
- Dokuz. A., Tanyolu. E. and Genc. S., 2005, A mantle and a lower crust derived bimodal suite in the Yusufeli Artvin area, NE Turkey: Trace element and REE evidence for subduction-related rift origin of Early Jurassic Demirkent intrusive complex, *International Journal of Earth Sciences*, Vol: 95, p: 370-394.
- Eggleton. R.A. and Banfield. J.F., 1985, The alteration of granitic biotite to chlorite, *American Mineralogist*, Vol: 70, p: 902-910.
- Gromet. L.P., Dymek. R.F., Haskin L.A. and Korotter. R.L., 1984, The north American shale composite: its composition, major and trace element characteristics, *Geochimica et Cosmochimica Acta*, Vol: 48, p: 2469-2482.

- Kikawada. Y., Ossaka. T., Oi. T. and Honda. T., 2001, Experimental studies on the mobility of lanthanides accompanying alteration of andesite by acidic hot spring water, *Chemical Geology*, Vol: 176, p: 137-149.
- Kouhestani. H., Rastad. E. and Rashidnejad- Omran. N., 2008, Auriferous sulfides from the Chah-Bagh gold occurrence, Muteh mining district, *Journal of Sciences, Islamic Republic of Iran*, Vol: 19, p: 125-136.
- Kouhestani. H., Rashidnejad-Omran. N., Rastad. E., Mohajel. M., Goldfarb. R.J. and Ghaderi. M., 2014, Orogenic gold mineralization at the Chah Bagh deposit, Muteh gold district, Iran, *Journal of Asian Earth Sciences*, Vol: 91, p: 89-106.
- Liegeois. J.P., Latouche. L., Bougrara. M., Navez. J. and Guiraud. M., 2003, The Latea metacraton (Central Hoggar, Tuareg shield, Algeria): behavior of an old passive margin during the Pan-African orogeny, *Journal of African Earth Sciences*, Vol: 37, p: 161-190.
- Lottermoser. B.G., 1992, Rare earth elements and hydrothermal ore formation processes, *Ore Geology Reviews*, Vol: 7, p: 25-41.
- Mohajel. M., 1997, Structure and tectonic evolution of Paleozoic-Mesozoic rocks, Sanandaj-Sirjan zone, Western Iran, Ph.D. Thesis, University of Wollongong, Australia.
- Mousivand. F., Rastad. E., Meffre. S., Peter. J.M., Mohajel. M., Zaw. K. and Emami. M.H., 2012, Age and tectonic setting of the Bavanat Cu-Zn-Ag Besshi-type volcanogenic massive sulfide deposit, southern Iran, *Mineralium Deposita*, Vol: 47, p: 911-931.
- Mousivand. F., Rastad. E., Meffre. S., Solomon. M., Peter. J.M. and Zaw. K., 2011, U-Pb geochronology and Pb isotope characteristics of the Chahgaz volcanogenic massive sulfide deposit, southern Iran, *International Geology Reviews*, Vol: 53, p: 1239-1262.
- Mucke. A., Fojtb, B. and Skacel. J., 2006, The MaleVrbno magnetite occurrence of the Velke Vrbno Unit, Czech Republic: petrology, mineralogy, geochemistry and genesis, *Chemie der Erde*, p: 109-127.
- Parak. T., 1985, Phosphorus in different type of ore, sulfides in the iron deposits, and the type and origin of ores at Kiruna, *Economic Geology*, Vol: 6, p: 646-665.
- Passchier. C.W. and Trouw. R.A.J., 1997, *Micro-tectonics*, Springer-Verlag New York, Berlin Heidelberg Editions, p: 289.
- Platt. J.P., 1984, Secondary cleavages in ductile shear zones, *Journal of Structural Geology*, Vol: 6, p: 439-442.
- Roy. S. and Venkatesh. A.S., 2009, Mineralogy and geochemistry of banded iron formation and iron ores from eastern India with implications on their genesis, *Science*, Vol: 118, p: 619-641.
- Smirnov. V.M., Ginzburg. A.I., Grigoriev. V.M. and Yakovlev. G.F., 1983, *Studies of mineral deposits*. Mir Publishers, Moscow, p: 288.
- Spangenberg. J.E., Lavric. J.V., Alcala. C., Gosar. M., Dold. B. and Pfeifer. H.P., 1999, Inorganic and organic geochemical patterns of waste material from the Idrija mercury mine (Slovenia): tracers of natural and anthropogenic chemicals, 5<sup>th</sup> Biennial SGA Meeting and 10<sup>th</sup> Quadrennial IAGOD Symposium, London, England.
- Spry. A., 1969, *Metamorphic Textures*, Pergamon Press, New York. P: 350.
- Sun. S.S. and McDonough. W.F., 1989, Chemical and isotopic systematics of oceanic basalts: implications for mantle composition and processes. In: Saunders, A.D. and Norry.M.J., (Eds) "Magmatism in the Ocean Basins", Geological Society of London, Special Publication 42, p: 313-345.
- Taylor. SR. and Mc Lennan. S.M., 1985, The continental crust: its composition and evolution, Blackwell, Oxford, p: 312.
- Terakado. Y. and Fujitani. T., 1998, Behavior of the rare earth elements and other trace elements during interactions between acidic hydrothermal solutions and silicic volcanic rocks, southwestern Japan, *Geochimica et Cosmochimica Acta*, p: 1903-1917.
- Turner. F.J. and Weiss. L.E., 1963, Structural analysis of metamorphic tectonites, McGraw-Hill Book, p: 545.
- Wang. Q., Wyman. D.A., Xu. J.F., Zhao. Z.H., Jian. P., Xiong. X.L., Bao. Z.W., LI. C.F. and Bai. Z.H., 2006, Petrogenesis of Cretaceous adakitic and shoshonitic igneous rocks in the Luzong area, Anhui province (eastern China): Implications for geodynamics and Cu-Au mineralization, *Lithos*, p: 1-26.
- Whitford. D.J., Korsch. M.J., Porritt. P.M., Craven. S.J., 1988, Rare-earth element mobility around the volcanogenic polymetallic massive sulfide deposit at Que River, Tasmania, Australia, *Chemical Geology*, p: 105-119.
- Yardley. B.W.D., Mackenzie. W.S. and Guilford. C., 1990, *Atlas of metamorphic rocks and their textures*, Longman Scientific and technical, p: 120.